INFLUENCIA DE LA COHESION Y LA FRICCION DE SUELOS RESIDUALES EN LA RESPUESTA CARGA – DEFORMACION DE PLACAS ANCLADAS

Dos Santos Ayres, Mauricio²; Schmidgall, Karen³; Bressan, Daniel⁴; Reinert, Hugo⁵; Ayala, Andrés⁶

¹Trabajo de investigación, Proyecto de Investigación "Anclajes en suelos tropicales misioneros" Código 16/I109.

²Autor. Integrante de Proyecto, estudiante de Ingeniería Civil, mauricio_ds_ayres@hotmail.com

³Coautor. Integrante de Proyecto, estudiante de Ingeniería Civil, karen.schmidgall@gmail.com

⁴Director de Proyecto, ingeniero civil, bressanobe@gmail.com

Resumen

En el marco del proyecto de investigación denominado "Anclajes en suelos tropicales misioneros" Código 16/I109, se inició el estudio del modelo de placas ancladas, con el objetivo de conocer la respuesta del suelo frente a un sistema propuesto. Para ello se planteó una metodología que consta de diseñar la configuración deseada mediante modelación digital en software, donde se evaluaron las deformaciones del suelo para distintas combinaciones de cohesión y ángulo de fricción interna. Los resultados obtenidos fueron graficados en distintas curvas, mediantes las cuales se pudo observar la baja influencia del ángulo de fricción interna cuando el valor de cohesión es relativamente elevado, además de concluir que la relación entre carga y deformación es prácticamente lineal hasta un valor de carga diez veces mayor a la cohesión.

Palabras Clave

Anclajes; Cohesión y Fricción; Suelos Residuales.

Introducción

En muros de sostenimiento de suelo resulta de gran utilidad la incorporación de anclajes o tirantes que soporten los esfuerzos traducidos por el suelo. De esta manera se logra disminuir sensiblemente el costo en la construcción del muro, ya que permite, por ejemplo, en el caso de muros a gravedad o de hormigón armado, reducir el volumen de los mismos.

De los distintos modelos de anclaje que pueden emplearse, uno de los más sencillos es el modelo de la placa anclada, que consta de un tendón de acero al cual se le incorpora, en uno de sus extremos, una placa rígida. El otro extremo del tendón está vinculado al muro. Con esta configuración, la placa actúa comprimiendo el suelo que la rodea, mientras que al tendón se le transmiten esfuerzos de tracción, logrando así absorber parte de las solicitaciones que se traducirían al muro.

⁵Codirector de Proyecto, ingeniero civil, hugoreinert@gmail.com

⁶Integrante de Proyecto, ingeniero civil, andresraulayala@gmail.com

En un trabajo anterior, denominado "EMPLEO DEL MÉTODO DE ELEMENTOS FINITOS PARA LA EVALUACIÓN DE DEFORMACIONES DE PLACAS ANCLADAS EN SUELOS RESIDUALES DE MISIONES", utilizando parámetros promedio del suelo misionero, se logró determinar que, para placas cuadradas, los mejores resultados se asocian a tamaño de placa de 30 cm de lado, con relación 'H/D' de 4 a 6, siendo 'H' la profundidad de fundación, es decir la distancia desde el muro a la placa, y 'D' el tamaño de la placa.

Con el fin obtener curvas que representen la respuesta del suelo, teniendo en cuenta la variación de sus parámetros, se realizaron modelaciones en software de elementos finitos del sistema descrito y se evaluaron las deformaciones del suelo para distintas combinaciones de cohesión y fricción.

En el presente trabajo se desarrollan diferentes variantes conforme lo planteado precedentemente, y se evalúan los resultados con el objeto de obtener correlaciones o curvas características que puedan simplificar el cálculo de este modelo estructural.

Metodología

El modelo planteado responde a la configuración expuesta en la Figura 1(a), dónde en un entorno de suelo natural, se dispone la placa rígida, y sobre ello suelo residual regional compactado. Esta misma configuración fue diseñada mediante modelación digital en el software PLAXIS 2D, que se basa en el método de elementos finitos para el análisis de la deformación y la estabilidad de las estructuras del suelo. Obteniendo así, el comportamiento del suelo frente a un sistema de placa anclada, para los distintos valores que pueden tomar los parámetros que lo definen. Una imagen del modelo se da en la Figura 1(b).

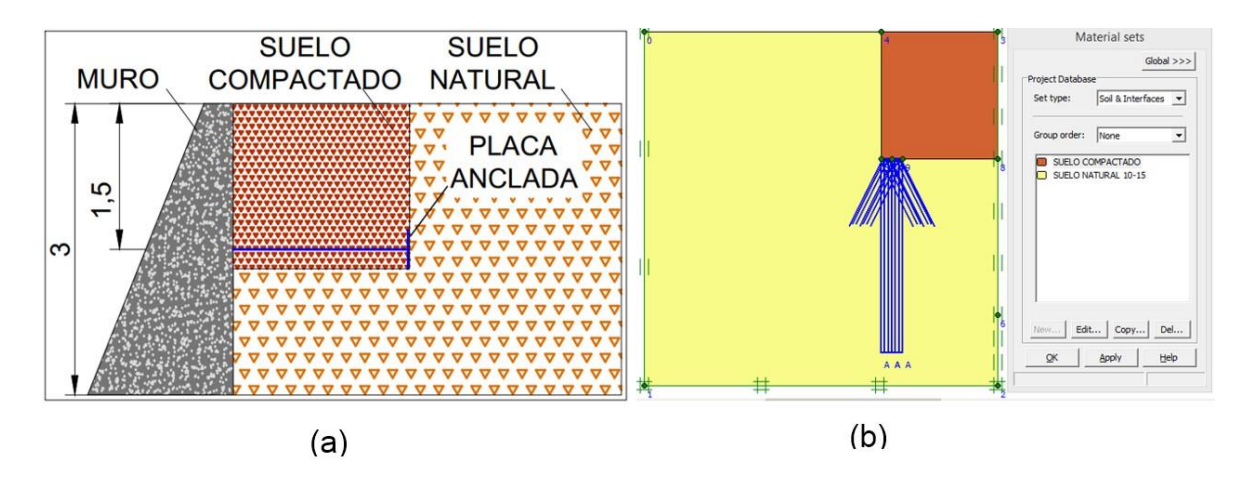


Figura 1: Imágenes del Modelo en estudio.

El tamaño de placa adoptado es de 30cm, según las recomendaciones del trabajo mencionado anteriormente, y la relación H/D=6, es decir, que la placa está ubicada a 1,80m del muro.

El suelo utilizado en el primer modelo está caracterizado por una cohesión de 60kPa y un ángulo de fricción de 20°. Para esta configuración se modeló el anclaje variando la carga en intervalos de 100kPa, obteniendo la deformación correspondiente a cada valor de carga 'Pu', hasta hallar la carga de rotura definida como aquella para la cual se produce la falla en el suelo o bien las deformaciones son excesivas. Las deformaciones a las que se hace referencia corresponden al desplazamiento del punto medio de la placa. El procedimiento se repitió para las distintas combinaciones de cohesión y fricción que varían según el detalle presentado en la Tabla 1.

-Materiales:

Para la definición de los modelos se asumieron los parámetros de referencia detallados en la Tabla 1 y 2, para los suelos y la placa de anclaje metálica, conforme requerimientos del software.

Suelo: Los parámetros geomecánicos de los suelos empleados en el presente trabajo, corresponden a ensayos realizados en los laboratorios de la Facultad de Ingeniería de la U.Na.M. de donde se definieron los rangos de variación cohesión y ángulo de fricción adoptados en suelos naturales y compactados. Los valores de referencia se detallan en la Tabla 1.

Parámetro	Desig.	Ud.	Suelo Compactado	Suelo Natural
Modelo Material	-	1	Mohr - Coulomb	Mohr - Coulomb
Tipo de comportamiento	-	-	No Drenado	No Drenado
Peso unitario húmedo	γ Wet	kN/m ³	19.10	17.10
Peso unitario saturado	γSat	kN/m ³	20.00	18.50
Módulo de Elasticidad	E_{ref}	kN/m ²	24000	18000
Módulo de Poisson	ν	-	0.30	0.25
Cohesión	C_{ref}	kN/m ²	87.00	10, 20, 30, 40, 50 ó 60
Angulo de fricción	φ	0	13.50	05, 10, 15 ó 20

Tabla 1: Parámetros geomecánicos empleados en los modelos.

Placa: Los parámetros mecánicos de la placa se adoptaron de manera tal que tenga la suficiente rigidez para no deformarse, con el fin de analizar solamente las deformaciones del suelo.

Para la modelación en software se deben definir las propiedades geométricas y mecánicas de placa. Con las rigideces axial y flexional se define un espesor equivalente que depende de una relación entre las mismas.

Parámetro	Desig.	Ud.	Chapa de aluminio
Modelo Material	-	-	Elástico
Rigidez Axial	EA	kN/m	2.00E+11
Rigidez Flexional	EI	kNm ² /m	3.00E+07
Módulo de Poisson	ν	-	0.30
Peso	w	kN/m/m	0.00
Espesor equivalente	d	m	0.042

Tabla 2: Parámetros geométricos y mecánicos empleados en los modelos.

-Cargas:

El sistema propuesto consiste en una carga uniformemente distribuida aplicada sobre la placa, comprimiendo el suelo compactado. Para cada tamaño de placa se realizaron las corridas en software variando las cargas en intervalos de 100 kPa, hasta que se produjera la falla del suelo o bien las deformaciones son excesivas.

Resultados y Discusión

Con las distintas corridas realizadas en el software se obtuvieron los desplazamientos correspondiente al punto indicado sobre la placa. En la Figura 2 se presentan las curvas donde se muestran, para cada valor de cohesión, variando el ángulo de fircción interna, las respuesta deformación versus carga.

Cabe destacar que para una mejor interpretación de las curvas se tomó como valor límite de carga, para los distintos rangos de cohesión, al que produce la falla en el suelo menos resistente, que se da con el menor el ángulo de fricción considerado.

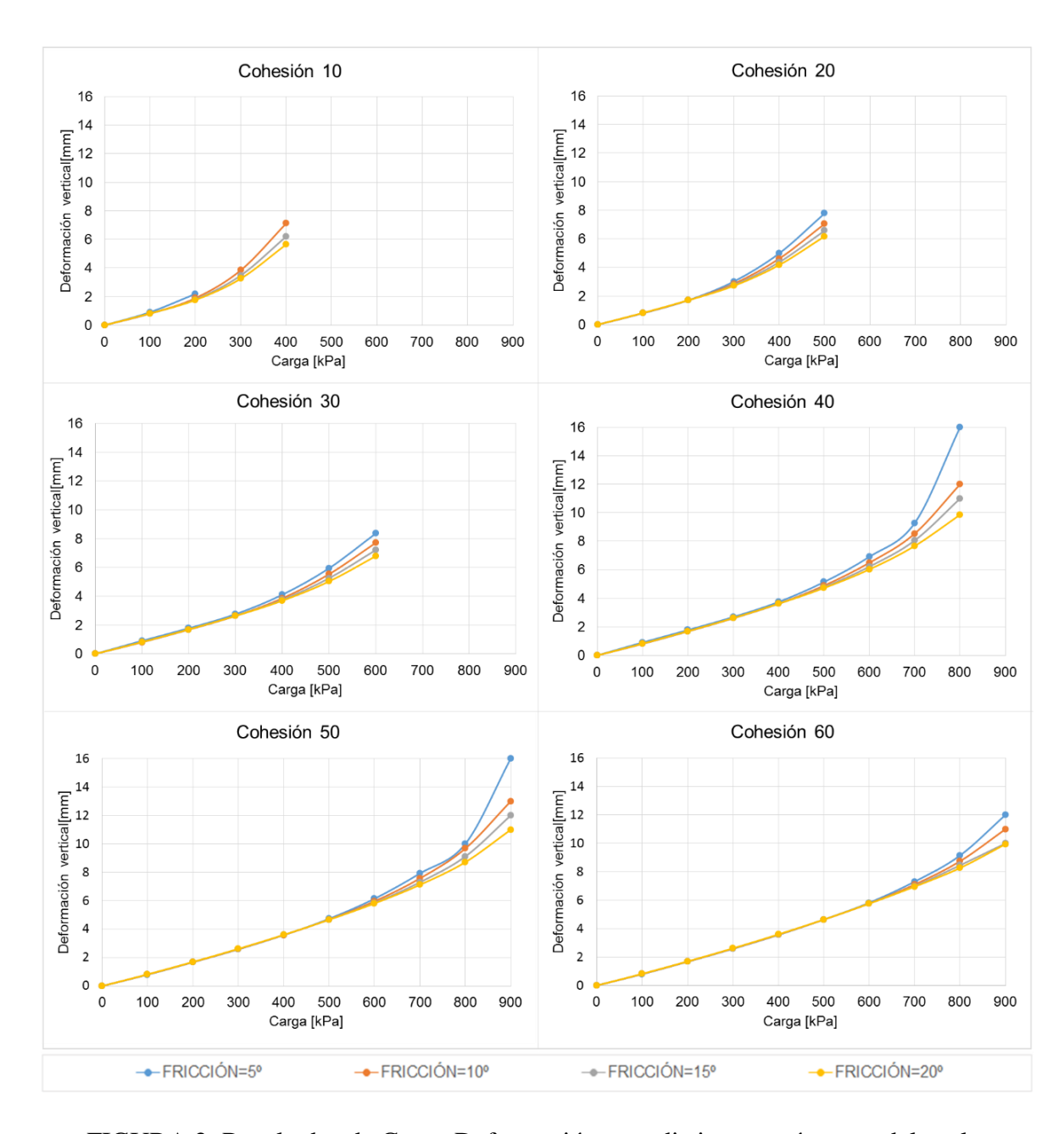


FIGURA 2: Resultados de Carga-Deformación para distintos parámetros del suelo.

Analizando la figura se puede observar que para una Cohesión de 60kPa, las curvas correspondientes a los ángulos de fricción de 05°, 10°, 15° y 20° mantienen una relación lineal, prácticamente superpuestas hasta un valor de carga de 600kPa. A partir de ese valor se pierde la linealidad, y las curvas comienzan a despegarse hasta producirse la falla para cargas cercanas a 900kPa.

El mismo comportamiento se observa para los demás valores de cohesión, es decir 10, 20, 30, 40 y 50kPa, desprendiéndose las curvas para cargas de 100, 200, 300, 400 y 500kPa respectivamente.

La contribución de la fricción se puede apreciar cuando las curvas comienzan a desprenderse, debido a que las deformaciones aumentan a medida que el ángulo de fricción

disminuye. Sin embargo el aporte no es significativo ya que para valores extremos la diferencia en las deformaciones es de aproximadamente 2mm.

Conclusiones

El análisis de las curvas presentadas en la Figura 2 deja en evidencia una marcada relación entre la cohesión y la carga para la cual las diferentes curvas, correspondientes a cada valor del ángulo de fricción, comienzan a despegarse.

Esta relación se verifico en 1/10 ya que, por ejemplo, para una cohesión de 60kPa, la carga es de 600kPa, para cohesion de 50kPa es de 500kPa y asi para todos los valores analizados.

Las deformaciones son independientes del ángulo de fricción para cargas menores a las mencionadas según el caso. A partir de ese punto las deformaciones aumentan a medida que el ángulo de fricción disminuye, obteniendo para valores extremos diferencias de 2mm aproximadamente.

Se concluye que el aporte de la fricción no es relavante, en especial para valores de cohesión superiores a los 40kPa.

La relación entre carga y deformación es prácticamente lineal hasta un valor de carga diez veces mayor a la cohesión. Igualmente se pretende poder validar y/o calibrar los presentes modelos con algunos ensayos de campo.

Referencias Bibliográficas

Bressan, Daniel A.; Reinert, Hugo O.; Avato, Marcelo E. (2014) Investigación sobre capacidad de Anclajes en Suelos Misioneros. III Jornadas de Investigación en Ingeniería del NEA y Países Limítrofes – Nuevos escenarios para la ingeniería en el norte grande. ISBN: 978-950-42-0157-1. Facultad Regional Resistencia. Universidad Tecnológica Nacional. Resistencia. Chaco. Argentina.

De Salvo, O. E. (1990). El Perfil de Meteorización de las Rocas Basálticas y su Importancia en la Ingeniería de Fundaciones, Revista Técnica de las Asociaciones Paraguayas de Estructuras y Geotecnia (APE y APG), Ediciones y Arte SRL. Año 1, Nro 1, Octubre 1990, Asunción, Paraguay, p. 33-46.

FOOKES, P. G. (2004). Suelos Residuales Tropicales. Hombre Nuevo Editores. Medellín, Colombia. p. 235.

GIDIGASU, M. D. (1976). Laterite Soil Engineering – Pedogenesis and Engineering Principles. Elsevier Scientific Publishing Company. Amsterdam. p. 554.

NAVARRO R.U. (2002) Manual de Anclajes en Obras de Tierras. Facultad de Ingeniería. Universidad de los Andes. Mérida. Venezuela. p. 214.